

تأثیر اتصالات غیر صلب بر ناپایداریهای استاتیکی و دینامیکی تیر تیموشینکو سه مرحله‌ای تحت اثر نیروی تعقیب کننده

حمید موسی زاده^۳

دانشکده فنی - مهندسی، دانشگاه تربیت مدرس

امیرحسین اثباتی^۱ و سعید ایرانی^۲

دانشکده مهندسی هوافضا، دانشگاه صنعتی خواجه نصیرالدین طوسی

تاریخ پذیرش: ۱۴ / ۱۰ / ۱۳۸۹

تاریخ دریافت: ۳ / ۸ / ۱۳۸۹

چکیده

در این پژوهش، ناپایداریهای استاتیکی و دینامیکی تیر پله‌ای سه مرحله‌ای تیموشینکو تحت اثر نیروی تعقیب کننده، با توجه به تغییر در سختی فنرهای اتصال دهنده، بررسی شده است. برای استخراج رابطه مولد از اصل همپلتون استفاده شده است. روابط انرژی برای تیر تیموشینکو نوشته شده و اینرسی دورانی و تغییر شکل برشی در نظر گرفته شده است. ترم‌های پایستار و ناپایستار نیروی تعقیب کننده و انرژی جنبشی جرم‌های متمرکز لحاظ شده اند. مشاهده می‌شود، با کمی تغییر در خواص جرمی و سختی تیر، نیروی بحرانی و نوع ناپایداری تغییر می‌کند. همچنین، با تغییر طول مراحل، مودهای تحریک تغییر جالب توجهی می‌کنند. در این حالت، ناپایداری دینامیکی از ادغام فرکانس‌های سوم و چهارم غیر صفر اتفاق می‌افتد، در حالی که فرکانس‌های اول و دوم پایدار می‌باشند.

واژه‌های کلیدی: تیر تیموشینکو، نیروی تعقیب کننده، اتصال غیر صلب، تیر سه مرحله‌ای با خواص متغیر

The Effect of Non-rigid Joints on the Static and Dynamic Instabilities of a Three-step Timoshenko Beam with Follower Force

A.H.Esbati & S. Irani

Aerospace Eng. Dep't.
Khajeh-Nasir Univ. & Tech.

H. Moosa-zadeh

Eng. School
Tarbiat Modarres Univ.

ABSTRACT

In this work, the static and dynamic instabilities of a three-step Timoshenko beam with follower force, considering changes in the stiffness of the joint springs, is investigated. To derive the related equations, Hamiltonian principle has been used. Energy relations are written for the Timoshenko beam considering the rotational inertia and shear deformation. Steady and unsteady follower forces and the kinetic energy of lumped masses and included. It is noted that minor changes in mass and stiffness properties of the beam effect the critical force and the type of instability considerably. Also changing the beam's length in different cases, critical modes change a considerable amount. Note, dynamic instability occurs because the third and fourth non-tend frequencies are combined, while the first and second frequencies stay stable.

Keywords: Timoshenko Beam, Follower Force, Non-rigid Joint, 3-step beam, Variable Property

^۱ کارشناس ارشد مهندسی هوافضا (نویسنده پاسخگو): (ah_esbati@sina.kntu.ac.ir)

^۲ استادیار

^۳ کارشناس

۱- مقدمه

پترز و وو^۴ پایداری عرضی یک ستون آزاد را تحت اثر یک نیروی تراست محوری با کنترل جهت مورد مطالعه قرار دادند [۵]. ایشان نتیجه گرفتند که اگر مکانیزم کنترل بر جهت اعمال نیرو موجود نباشد، یک جفت مقدار ویژه صفر موجود خواهد بود که یکی متناسب با معادله ویژه درجه یک نسبت به جسم صلب عرضی بوده و دیگری معادله ویژه درجه یک نسبت به جسم صلب دورانی می‌باشد، ولی مدلی که آنها در نظر گرفته‌اند وابسته به موقعیت حسگر دورانی بوده. و ارتباط بین نیروی بحرانی و معادله ویژه را به وسیله المان محدود مشاهده نمود [۶]. او نتیجه گرفت، بزرگی و موقعیت جرم متمرکز می‌تواند رفتار پایداری موشک را بهبود بخشد. پارک و موت^۵ یک تیر دوسر آزاد از نوع اوپلر-برنولی در حال حمل جرم متمرکز با اینرسی جابه‌جایی و دورانی تحت اثر نیروی تراست انتهایی را مطالعه کردند [۷].

پارک^۶ پایداری دینامیکی یک تیر دوسر آزاد تیموشنکو را تحت اثر یک نیروی ثابت تعقیب کننده مطالعه کرد [۸]. بر خلاف تحلیل‌های بالا، اثر اینرسی دورانی و تغییر شکل برشی بر روی پایداری تیر با نیروی کنترل شده تعقیب کننده را محاسبه کرد. او نشان داد، در حالتی که کنترل کننده راستا موجود نباشد، ناپایداری در نیروی بحرانی فلاتر و نیروی بحرانی با افزایش ترم تغییر شکل برشی افزایش می‌یابد. با کنترل راستا، ناپایداری مقدماتی، چه در زمینه فلاتر و چه دایورژنس، به موقعیت و گیرندگی سنسور حرکت دورانی وابسته است.

لافولز و پیچ^۷ اثر وزن تیر و نیروی تعقیب کننده را بر روی پایداری یک میله الاستیک را با استفاده از دو ترم روش گالرکین مطالعه کردند [۹]. مطالعه های آنها شامل میله پین-پین، درگیر-آزاد، دو سر آزاد بود.

پراتهان و داتا^۸ مدل تیر تیموشنکوی یکنواخت، تحت اثر نیروی ثابت را با دو جرم متمرکز را مورد مطالعه قرار

مدل صحیح اعمال نیروی پیشران در سازه‌های هوافضایی، نیروی تعقیب کننده می‌باشد. از این رو بسیاری از سیستم‌های الاستیک و پلاستیک تحت اثر نیروی پیشران مطالعه شده و مطالب منتشر شده در این راستا موجود می‌باشد. این مقالات بر روی پایداری تیر و پوسته تحت اثر نیروی پیشران تمرکز کرده‌اند و از آنجا که سازه‌های فضایی به حداقل وزن برای طراحی نیاز دارند، معمولاً این سازه‌ها منعطف می‌باشند. در مدل سازی‌های که تاکنون انجام شده یا از تغییر در خواص سختی و جرمی صرف نظر نمودند و یا اتصال بین مراحل مختلف تیر را صلب فرض کرده‌اند. از این رو بررسی همزمان تغییر در خواص تیر و اتصالات غیرصلب که در این مقاله مطرح شده، قابل توجه می‌باشد.

برای محاسبه فرکانس طبیعی سیستم، تحت اثر نیروی پایستار فعالیت زیادی انجام شده که به بخشی از آنها اشاره می‌شود. معادلات تحلیلی برای یک تیر یکنواخت، تحت اثر نیروی محوری ثابت توسط بوکاییان^۱ برای شرایط مرزی متفاوت مورد بررسی قرار گرفته، معادلات مشخصه و بارهای بحرانی تعیین شده‌اند [۱]. جوشی^۲ یک روش ساده برای محاسبه فرکانس طبیعی برای یک تیر تحت اثر نیروی محوری، با توزیع جرم متغیر ارائه نموده است [۲].

پایداری یک سیستم الاستیک، تحت اثر نیروی ناپایستار، با معادلات مرسوم اوپلری قابل حل نیست، این سیستم می‌تواند دچار ناپایداری استاتیکی (دایورژنس) و ناپایداری دینامیکی (فلاتر) شود [۳].

برای دستیابی به پاسخ مطلوب‌تر برای رفتار یک پرتابه (موشک، راکت و ماهواره بر و...) پایداری ارتعاشاتی تیر دو سر آزاد، تحت اثر نیروی تعقیب کننده، مورد بررسی قرار گرفت. به دلیل همراه داشتن نیروی ناپایستار در این سیستم، حل معادلات آن کمی پیچیده می‌شود. بیل^۳ در سال ۱۹۶۵ برای نخستین بار پایداری یک تیر دو سر آزاد را تحت اثر نیروی پیشران ثابت و نوسانی، برای یک تیر یکنواخت بررسی کرد [۴].

۴. Peters and Wu

۵. Park and Mote

۶. Park

۷. Leipholz and Piche

۸. Sumeet Pradhan, P.K. Datta

۱. Bokaian

۲. Joshi

۳. Beal

همچنین، برای کارهای پایستار و ناپایستار داریم:

$$W_c = \sum_{i=1}^3 \frac{1}{2} \int_{L_{i-1}}^{L_i} \left(\frac{P}{M'} \right) \left[m_i x - m_i L_{i-1} + \sum_{j=1}^i (m_j - l_{j-1}) \right] \left(\frac{\partial w}{\partial x} \right)^2 dx \quad (3)$$

$$\delta W_{NC} = -P \phi|_{x=L} \delta w|_{x=L} \quad (4)$$

اصل همیلتون در رابطه (۵) آورده شده است.

$$\int_{t_1}^{t_2} (\delta(T - V + W_c)) dt + \int_{t_1}^{t_2} \delta W_{NC} dt = 0 \quad (5)$$

با قرار دادن معادلات (۴-۱) در معادله (۵) و پس از بی‌بعد سازی روابط، معادله مولد کلی به شکل زیر در خواهد آمد:

$$\int_{\tau_1}^{\tau_2} \left[\sum_{i=1}^3 \left(v_i \int_{\lambda_{i-1}}^{\lambda_i} \left(\frac{\partial \eta}{\partial \tau} \right) \delta \left(\frac{\partial \eta}{\partial \tau} \right) d\xi + r_i R_i \int_{\lambda_{i-1}}^{\lambda_i} \left(\frac{\partial \phi}{\partial \tau} \right) \delta \left(\frac{\partial \phi}{\partial \tau} \right) d\xi \right) \right. \\ \left. \left(\sum_{i=1}^3 \int_{\lambda_{i-1}}^{\lambda_i} e_i \left(\frac{\partial \phi}{\partial \xi} \right) \delta \left(\frac{\partial \phi}{\partial \xi} \right) d\xi \right) \right. \\ \left. \left(\sum_{i=1}^3 \int_{\lambda_{i-1}}^{\lambda_i} s_i \left(\frac{\partial \eta}{\partial \xi} - \phi \right) \delta \left(\frac{\partial \eta}{\partial \xi} - \phi \right) d\xi \right) \right. \\ \left. + \sum_{i=1}^2 K_{r_i} (\eta_{i+1} - \eta_i) \delta (\eta_{i+1} - \eta_i) \Big|_{\xi=\lambda_i} \right. \\ \left. + \sum_{i=0}^2 K_{r_i} (\phi_{i+1} - \phi_i) \delta (\phi_{i+1} - \phi_i) \Big|_{\xi=\lambda_i} \right) \\ \left. + \sum_{i=1}^3 \int_{\lambda_{i-1}}^{\lambda_i} \frac{Q}{\mu_{total}} (v_i (\xi - \lambda_{i-1}) + \mu_{total}) \left(\frac{\partial \eta}{\partial \xi} \right) \delta \left(\frac{\partial \eta}{\partial \xi} \right) d\xi \right. \\ \left. - Q (K_s \phi|_{\xi=\xi_i} + \phi|_{\xi=\lambda_i}) \delta \eta|_{\xi=\lambda_i} \right] d\tau = 0 \quad (6)$$

پس از تغییر در بازه‌ی انتگرال‌گیری و تبدیل رابطه به ترکیبی از سری‌ها، ماتریس‌های سختی و جرمی برای معادله مولد ما بصورت زیر تشکیل می‌شود:

$$\eta^i(\xi, \tau) = A^i(\xi) V(\tau) \\ \phi^i(\xi, \tau) = B^i(\xi) V(\tau) \quad (7)$$

با قرار دادن رابطه فوق ماتریس‌های سختی و جرمی بدست آمده و در نهایت معادله مولد به فرم زیر در می‌آید:

$$([K] - \omega^2 [M]) V = 0 \quad (8)$$

بر اساس تعریف، علامت و مقدار عدد مختلط ω که فرکانس طبیعی بی‌بعد سیستم است، نشان دهنده پایداری در سیستم می‌باشد. در مراجع [۴]، [۶] و [۷] این نکته نشان داده شده است.

دادند [۱۰]. آنها نشان دادند، مقدار خواص و جایگاه جرم دوم، چگونه بر مقدار نیروی بحرانی ما تاثیر می‌گذارد.

کار و ساجاتا^۱، یک تیر یک سر درگیر را با یک جرم متمرکز را تحت اثر یک نیروی تعقیب کننده عرضی پارامتری را بررسی کردند [۱۲]. لی^۲ یک تیر بدون تغییر طولی را مورد بحث قرار داد و بررسی نمود که چگونه انحنای اولیه و جرم متمرکز بر روی ناپایداری دینامیکی اثر می‌گذارد [۱۳]. یونگ و چن^۳ یک صفحه نامتقارن یکسر درگیر را که نیروهای آیرودینامیک و هارمونیک بطور همزمان به آن وارد می‌شوند را بررسی کرد [۱۴].

سرنیواسا^۴ بر روی پایداری صفحات کامپوزیت، با خواص متفاوت مطالعاتی انجام دادند [۱۵]. ایرانی و کاویانی‌پور، تیر اولیر-برنولی متصل شده تحت اثر نیروی تعقیب کننده و نیروی عرضی را مدل کرده و توسط روش نیومارک، رفتار تیر را در طول زمان بررسی نمودند [۱۶]. در این مقاله، ابتدا روابط ریاضی برای تیر بر اساس اصل همیلتون و با در نظر گرفتن ترم ناپایستار نیروی تعقیب کننده استخراج شده، سپس نتایج مدل سازی بر اساس تعریف تیر دو و سه مرحله‌ای بررسی می‌گردد.

۲- مدل سازی ریاضی

همانگونه که تعریف شد، در این مقاله از اصل همیلتون برای مدل سازی سیستم استفاده شده است. بر این اساس، روابط انرژی جنبشی و پتانسیل برای سیستم مذکور در معادلات (۱) و (۲) مشخص شده است.

$$T = \sum_{i=1}^3 \left(\frac{1}{2} \int_{L_{i-1}}^{L_i} m_i \left(\frac{\partial w}{\partial t} \right)^2 dx + \frac{1}{2} \int_{L_{i-1}}^{L_i} \rho_i I_i \left(\frac{\partial \phi}{\partial t} \right)^2 dx \right) \quad (1)$$

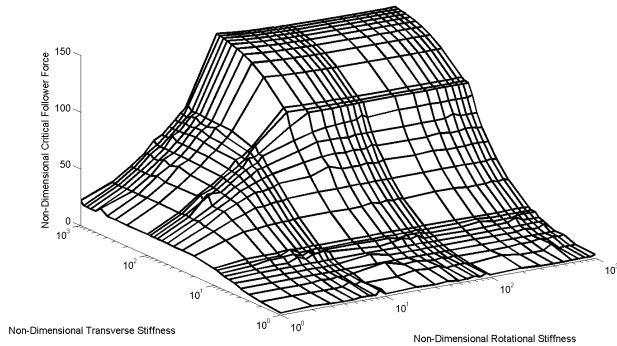
$$V = \sum_{i=1}^3 \left(\frac{1}{2} \int_{L_{i-1}}^{L_i} EI_i \left(\frac{\partial \phi}{\partial x} \right)^2 dx + \frac{1}{2} \int_{L_{i-1}}^{L_i} k A_i G_i \left(\frac{\partial w}{\partial x} - \phi \right)^2 dx \right) \\ + \frac{1}{2} \sum_{i=1}^2 K_{r_i} (w_{i+1} - w_i)^2 \Big|_{x=L_i} + \frac{1}{2} \sum_{i=1}^2 K_{r_i} (\phi_{i+1} - \phi_i)^2 \Big|_{x=L_i} \quad (2)$$

1. Kar and Sajata

2. Lee

3. Young and Chen

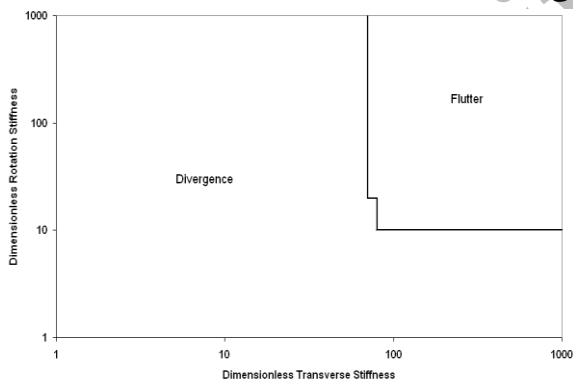
4. Srinivasa



شکل (۲): مدل تیر دو مرحله ای به همراه فنر های اتصال مراحل و جرم متمرکز.

تغییر در نوع ناپایداری باعث تغییر در مقدار نیروی تعقیب کننده بحرانی می شود. این تغییر به صورت مشهود در شکل مشاهده می شود.

با افزایش سختی جابجایی، نیروی بحرانی افزایش می یابد ولی در برخی نقاط مشاهده می شود، افزایش مقدار سختی پیچشی، نیروی بحرانی را کاهش می دهد. این پدیده به این دلیل می باشد که حداکثر نیروی بحرانی با افزایش سختی پیچشی، در مرز بین ناپایداری استاتیکی و دینامیکی رخ می دهد.



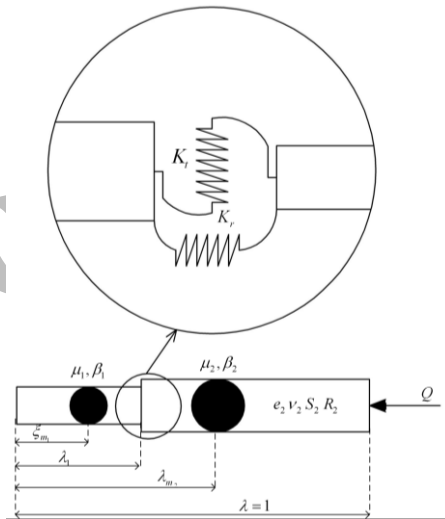
شکل (۳): محدوده ناپایداری استاتیکی و دینامیکی برای تیر دو مرحله ای با اتصالات فنر بر حسب سختی جابجایی و پیچشی.

همانطور که گفته شد، افزایش سختی جابجایی باعث افزایش نیروی بحرانی می شود، ولی در مورد سختی پیچشی این داستان کمی متفاوت است. در شکل ۴ مشاهده می شود، نیروی بحرانی با افزایش سختی دورانی افزایش می یابد تا

۳- نتایج عددی و تشریح پایداری

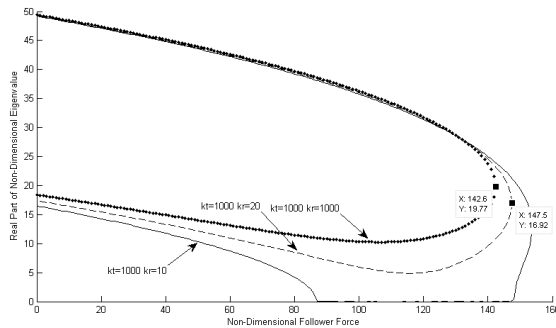
نتایج در این مقاله شامل دو بخش کلی می باشد. ابتدا پایداری تیر دو مرحله ای تحت اثر نیروی تعقیب کننده بررسی شده است. در ادامه پایداری در تیر سه مرحله ای بررسی می شود.

تیر دو مرحله ای با خواص متغیر و اتصالات الاستیک مدل مورد نظر در شکل ۱ ارائه شده است. در این شکل مشاهده می شود، خواص هر یک از مراحل با دیگری متفاوت بوده، فنرهای اتصال دهنده خطی می باشد و در جهات جابجایی عرضی و دورانی دارای سختی هستند. همچنین طول قسمت اول قابل تغییر می باشد. این مدل در واقع یک مدل مناسب برای موشک یا ماهواره بر دو مرحله ای است.



شکل (۱): مدل تیر دو مرحله ای به همراه فنر های متصل کننده و جرم متمرکز.

اگر فرض شود در مدل بالا m_2 دو برابر مرحله اول m_1 باشد، همچنین جرم های متمرکز را برای این مدل برابر صفر در نظر بگیریم، با تغییر سختی فنرهای جابجایی و پیچشی، نیروی بحرانی مطابق شکل ۲ تغییر می کند. در این نمودار که محورهای افقی آن لگاریتمی می باشند، با افزایش سختی فنرها از یک تا ۱۰۰۰، مقدار نیروی بحرانی از ۲/۱ تا ۱۴۷/۵ تغییر می کند.



شکل (۵): تغییر بخش حقیقی مقادیر ویژه بدون بعد بر حسب نیروی تعقیب کننده برای حالت‌های مختلف سختی فنرها.

۴- مدل تیر سه مرحله ای با خواص متغیر

در این مدل تیر سه مرحله ای را با خواص مقطع متفاوت مورد مطالعه قرار خواهد گرفت. این تغییرات دارای مقادیر کمی بر پایه پارامتر تعریف شده نسبت قطر می باشد. این نسبت بر روی سیستم به شرح زیر تعریف می شود.

برای خواص سختی نیز از رابطه زیر داریم:

برای تحلیل تیر سه مرحله با اتصالات الاستیک، پارامتر نسبت قطر به شرح زیر تعریف می شود:

$$\frac{I_i}{I_1} = \left(\frac{D_i}{D_1}\right)^3 = ADi^3, \quad (9)$$

$$\frac{S_i}{S_1} = \frac{A_i}{A_1} = \frac{D_i}{D_1} = ADi. \quad (10)$$

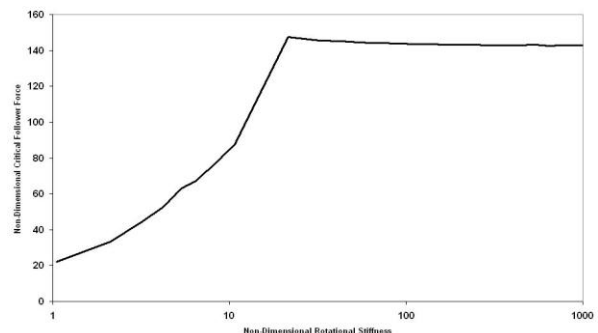
در رابطه فوق، ADi نسبت قطری می باشد و این پارامتر با توجه به اینکه از یک ماهیت فیزیکی استخراج شده و می تواند کلیه ترم‌های سیستم را تغییر دهد حائز اهمیت است.

با توجه به شکل مذکور، می توان دریافت برای تشریح رفتار سیستم چند پارامتر باید تغییر کند. این پارامترها شامل نسبت قطر مراحل دوم و سوم به مرحله اول $(AD3, AD2)$ ، سختی فنرهای جابجایی بین مراحل اول و دوم (K_r, K_t) و سختی جابجایی و دورانی فنرهای بین مراحل دوم و سوم (RR, TR) می باشد. نامگذاری RR, TR به منظور سهولت در خواندن نمودارها می باشد به عبارت دیگر $\kappa_1 = Kr, \kappa_2 = Kt$ و $\kappa_3 = RR, \kappa_4 = TR$ است.

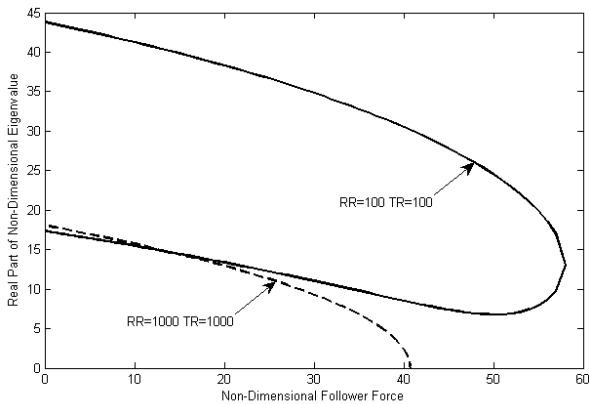
با توجه به کثرت نتایج، تنها نسبت‌های نزدیک به یک را برای نسبت‌های قطری مراحل دوم و سوم ارائه شده است.

نقطه $k_r = 10$ ، این نقطه آخرین نقطه ناپایداری استاتیکی در سیستم می باشد. با افزایش سختی پیچشی $(k_r = 20)$ ، نیروی تعقیب کننده افزایش چشمگیری پیدا کرده و به نقطه $147/5$ می رسد. پس از این نقطه، با افزایش سختی دورانی، نیروی تعقیب کننده بحرانی کاهش می یابد ولی این تغییرات بسیار کم بوده یعنی با افزایش سختی از $k_r = 20$ تا $k_r = 1000$ ، نیروی بحرانی $4/9$ کاهش می یابد و به مقدار $142/6$ می رسد که در شکل ۵ نیز نمایش داده شده است.

با در نظر گرفتن جرم متمرکز برای سیستم، رفتار و نوع ناپایداری تیر تغییر می نماید. این موضوع در بررسی های انجام گرفته، با فرض صلبیت اتصالها مشاهده شده بود. در شکل ۵ فرکانسها را برای ترکیب تیر با دو جرم متمرکز با شرایط $\mu_1 = 0.1, \beta_1 = 0, \xi_{m1} = 0.25$ و برای جرم دوم $\mu_2 = 0.2, \beta_2 = 0.02, \xi_{m2} = 1$ با فرض اتصالات صلب مشاهده می شود. در این ترکیب نیروی بحرانی $48/8$ می باشد. حال فرض می شود تیر دارای اتصالات فنری می باشد. با توجه به نکات فوق می توان دریافت، نتایج حاصل از اتصال غیر صلب متأثر از فرض تیر صلب می باشد. زمانی که ناپایداری تیر با فرض اتصال صلب، دینامیکی باشد، با افزایش سختی جابجایی و دورانی تغییر در نوع ناپایداری خواهیم داشت در صورتی که اگر ناپایداری تیر از نوع استاتیکی باشد، تغییر در نوع ناپایداری اتفاق نمی افتد. این نکته از نظر فیزیکی نیز قابل پیش بینی است زیرا در صورتی که سختی فنرهای اتصال کم باشد، سیستم دچار ناپایداری استاتیکی می شود و با افزایش سختی فنرها سیستم به فیزیک خود با فرض اتصال صلب نزدیک می شود.

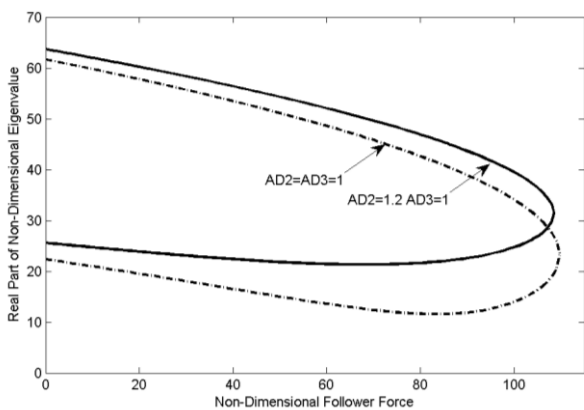


شکل (۴): تغییرات نیروی بحرانی بر حسب تغییر در سختی دورانی $k_r = 1000$.



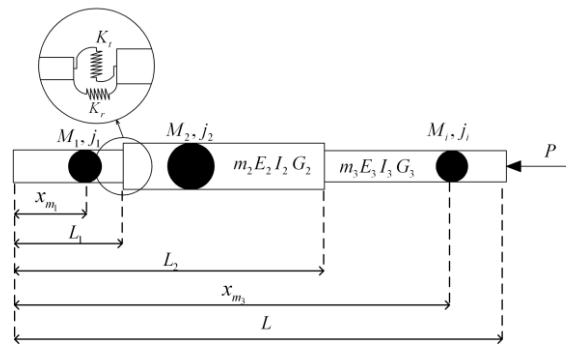
شکل (۸): مقادیر ویژه تیر به ازای $TR = RR = 100$ و $TR = RR = 1000$ برحسب نیروی تعقیب کننده.

در شکل ۹، مقادیر ویژه بدون بعد برحسب تغییرات نیروی تعقیب کننده بحرانی نشان داده شده است. شباهت در رفتار همچنین نیروی تعقیب کننده بحرانی در این نمودار مشخص شده است.



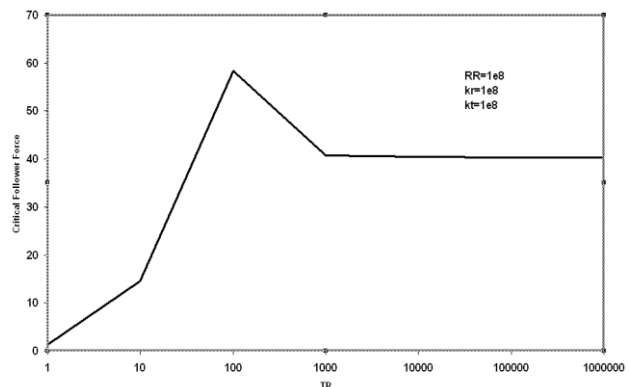
شکل (۹): مقادیر ویژه تیر به ازای $AD2 = AD3 = 1$ و $AD2 = 1.2, AD3 = 1$ برحسب نیروی تعقیب کننده با اتصالات صلب.

در نمودارهای بالا، طول‌های بی‌بعد در مراحل $\lambda_1 = 0.35, \lambda_2 = 0.65$ می‌باشد و جرم متمرکز صفر می‌باشد. رفتار تیر با تغییر طول مراحل تغییر خواهد نمود. در بخش آینده اثر تغییر طول مرحله اول بررسی خواهد شد.



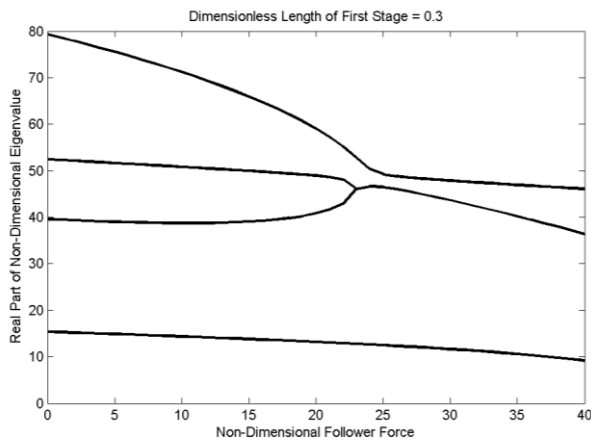
شکل (۶): مدل تیر سه مرحله ای با اتصالات فنری به همراه جرم متمرکز.

در شکل ۱۲ مشاهده می‌شود با افزایش TR نیروی بحرانی یک افزایش ناگهانی دارد و سپس کاهش می‌یابد. این تغییرات در شکل ۷ قابل بررسی می‌باشد. در این نمودار مشاهده می‌شود، در نقطه $TR = 100$ ناپایداری از نوع دینامیکی می‌باشد در صورتی که در تمامی نقاط دیگر، همچنان ناپایداری از نوع استاتیکی است. این نکته باعث شده در برای این مقدار سختی نیروی بحرانی سیستم، بیشتر از سختی‌های بیشتر شود. بطور مثال در شکل ۸ مشاهده می‌شود، زمانی که سختی فنرهای جابجایی و دورانی رابط بین مراحل دوم و سوم برابر $TR = RR = 100$ می‌باشند، نیروی بحرانی تعقیب کننده ۵۸ می‌باشد و ناپایداری از نوع دینامیکی است. حال اگر سختی فنرهای بین مراحل دوم و سوم افزایش یابد، بطور مثال $TR = RR = 1000$ شود، با توجه به تغییر در نوع ناپایداری (شکل ۸)، نیروی بحرانی کاهش یافته و ناپایداری از نوع استاتیکی می‌شود. بنابراین برای تیر سه مرحله‌ای با خواص مقطع متفاوت، نیروی بحرانی می‌تواند با افزایش سختی فنرها کاهش پیدا کند.



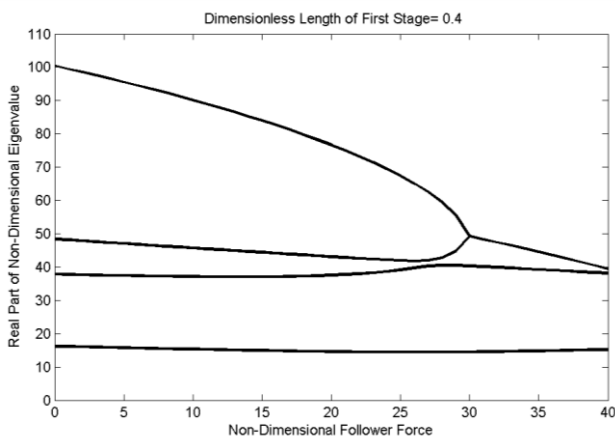
شکل (۷): نیروی بحرانی برحسب تغییر در سختی جابجایی فنر بین مراحل دوم و سوم به ازای $RR = 10^8$.

دینامیکی از ادغام فرکانس‌های دوم و سوم اتفاق می‌افتد و فرکانس اول در ناپایداری اثری ندارد (شکل ۱۱).



شکل (۱۱): مقادیر ویژه بی‌بعد برای تیر سه مرحله‌ای با نسبت قطر $AD2=0.8, AD3=1.2$ و $\lambda_1=0.3$.

با افزایش طول مرحله اول و کاهش طول مرحله دوم $\lambda_1=0.4$ ، مقادیر ویژه رفتار درخور توجه‌ای از خود نشان می‌دهد. در این حالت فرکانس‌های سوم و چهارم با یکدیگر ادغام شده و باعث ناپایداری دینامیکی می‌شود. این رفتار در شکل ۱۳ نشان داده شده است.



شکل (۱۳): مقادیر ویژه بی‌بعد برای تیر سه مرحله‌ای با نسبت قطر $AD2=0.8, AD3=1.2$ و $\lambda_1=0.4$.

با مقایسه نتایج حاصل از $\lambda_1=0.3$ در شکل ۱۱ و $\lambda_1=0.4$ در شکل ۱۳ میتوان دریافت با تغییر طول مرحله اول، نیروی بحرانی تعقیب کننده افزایش می‌یابد ولی فرکانس‌های تحریک سیستم نیز تغییر می‌کند.

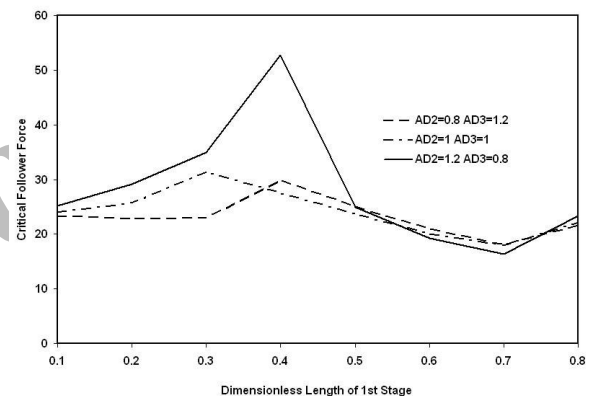
۵- اثر تغییر طول در ناپایداری تیر سه مرحله‌ای با خواص مقطع متفاوت

ابتدا با تغییر طول مرحله اول تیر، رفتار سیستم مطالعه می‌شود. برای این منظور طول بی‌بعد کل تیر برابر یک می‌باشد.

فرض می‌شود $\lambda_2=0.9$ باشد. اکنون با تغییر مقدار λ_1 ، مقدار بی‌بعد طول مرحله نخست از 0.1 تا 0.8 ، رفتار تیر بررسی می‌شود.

نسبت قطر به عنوان یک پارامتر موثر در تغییر خواص سختی و جرمی مورد استفاده قرار می‌گیرد.

شکل ۱۰ نیروی بحرانی را بر حسب تغییرات در λ_1 برای مقادیر متفاوت نسبت قطر مراحل دوم و سوم به مرحله اول ارائه شده است.



شکل (۱۰): مقدار نیروی بحرانی تیر بر حسب تغییر در λ_1 برای مقادیر متفاوت نسبت قطر مراحل دوم و سوم.

در این ترکیب مشاهده می‌شود، تغییر در نیروی بحرانی با توجه به تغییرات در فرکانس‌های ناپایدار کننده اتفاق می‌افتد. بطور معمول در سیستم‌های مذکور، مقادیر ویژه اول و دوم غیر صفر معرف ناپایداری استاتیکی و یا دینامیکی سیستم می‌باشند. در ناپایداری‌های شکل ۱۰، در مواردی بالاتر از ادغام بین مقادیر ویژه دوم و سوم اتفاق می‌افتد. تغییر در مود ناپایداری باعث تغییر در نیروی بحرانی می‌شود. در موارد خاص ناپایداری دینامیکی در اثر ادغام بین فرکانس‌های سوم و چهارم اتفاق می‌افتد. برای مثال زمانی که نسبت قطری سیستم برابر $AD2=0.8, AD3=1.2$ باشد، در حالتی که طول بی‌بعد مرحله اول برابر $\lambda_1=0.3$ می‌باشد. ناپایداری

با افزایش طول مرحله اول مجدداً رفتار سیستم تغییر میکند. برای $\lambda_1 = 0.5$ ، مشاهده می‌شود مجدداً ناپایداری از ادغام فرکانس‌های دوم و سوم اتفاق می‌افتد. در این حالت نیز نیروی تعقیب کننده بحرانی کاهش می‌یابد و به $24/9$ می‌رسد که در شکل ۱۰ نیز نشان داده شده است.

بر این اساس می‌توان نتیجه گرفت، با تغییر طول مراحل در تیر، مودهای تحریک سیستم تغییرات قابل توجهی کرده و نیروی بحرانی نیز متأثر از این تغییر، متغیر می‌باشد. لذا برای طراحی مفهومی سازه‌های هوافضایی، باید به طول مراحل نیز برای مشاهده رفتار بهتر در مقابل نیروی تعقیب کننده توجه داشت.

در شکل ۱۵ مشاهده می‌شود، ناپایداری از ادغام فرکانس‌های اول و دوم اتفاق می‌افتد.

این تغییر در فرکانس تحریک باعث تغییر قابل توجهی در نیروی بحرانی می‌شود و در این ترکیب نیروی بحرانی معادل $52/7$ می‌شود.

با افزایش طول مرحله اول مجدداً رفتار سیستم تغییر میکند.

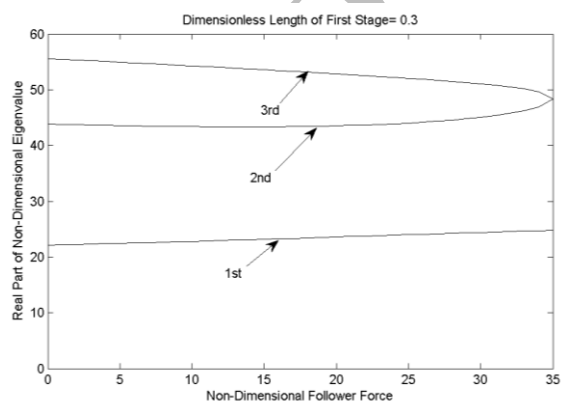
برای $\lambda_1 = 0.5$ ، مشاهده می‌شود مجدداً ناپایداری از ادغام فرکانس‌های دوم و سوم اتفاق می‌افتد. در این حالت نیز نیروی تعقیب کننده بحرانی کاهش می‌یابد و به $24/9$ می‌رسد که در شکل ۱۰ نیز نشان داده شده است.

۶- نتیجه گیری

برای تیر سه مرحله‌ای با خواص مقطع متفاوت، اگرچه در حالت معمول نیروی بحرانی با افزایش سختی فنرها افزایش می‌یابد ولی در مواردی مشاهده می‌شود که نیروی بحرانی میتواند با افزایش سختی فنرها کاهش پیدا کند. دلیل آن تغییر در نوع ناپایداری است.

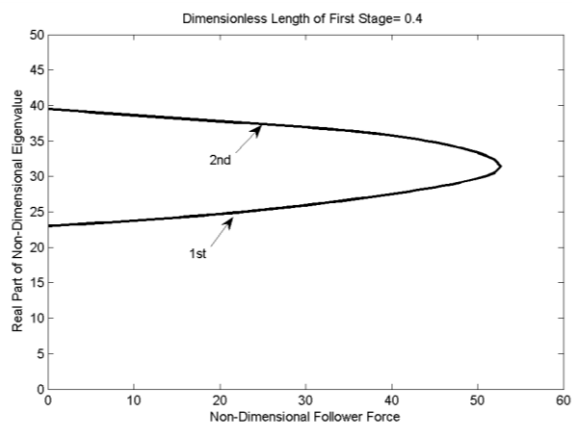
با تغییر طول مراحل در تیر، مودهای تحریک سیستم تغییرات قابل توجهی کرده و نیروی بحرانی نیز متأثر از این تغییر، متغیر می‌باشد. لذا برای طراحی مفهومی سازه‌های هوافضایی، باید به طول مراحل نیز برای مشاهده رفتار بهتر در مقابل نیروی تعقیب کننده توجه داشت.

با بررسی مجدد در شکل ۱۰ مشاهده می‌شود، نیروی بحرانی برای $AD2=1.2, AD3=0.8$ در نقطه $\lambda_1 = 0.4$ یک افزایش ناگهانی دارد و سپس کاهش می‌یابد. این افزایش به دلیل تغییر در فرکانس تحریک سیستم می‌باشد. در شکل ۱۴ مقادیر ویژه برای تیر مورد نظر در نقطه $\lambda_1 = 0.3$ ارائه شده، در این نمودار مشاهده می‌شود، فلاتر ناشی از ادغام فرکانس‌های دوم و سوم می‌باشد. در این حالت فرکانس اول در ناپایداری دخیل نمی‌باشد و نیروی بحرانی دینامیکی 35 محاسبه شده. با افزایش طول مرحله اول $\lambda_1 = 0.4$ ، رفتار سیستم تغییر می‌کند.

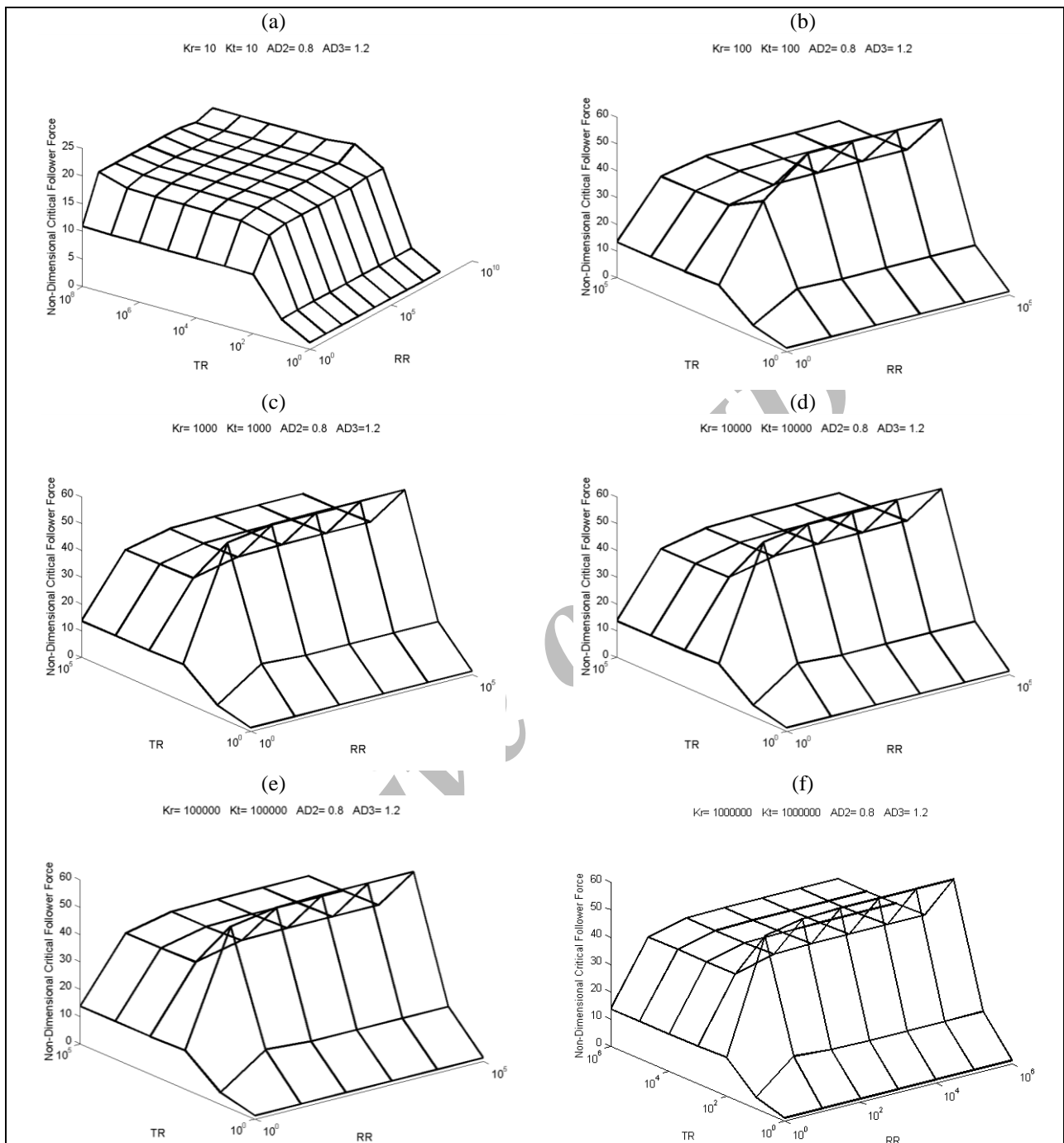


شکل (۱۴): مقادیر ویژه بی بعد برای تیر سه مرحله ای با نسبت قطر $AD2=1.2, AD3=0.8$ و $\lambda_1 = 0.3$.

در شکل ۱۵ مشاهده می‌شود، ناپایداری از ادغام فرکانس‌های اول و دوم اتفاق می‌افتد. این تغییر در فرکانس تحریک باعث تغییر قابل توجهی در نیروی بحرانی می‌شود و در این ترکیب نیروی بحرانی معادل $52/7$ می‌شود.



شکل (۱۵): مقادیر ویژه بی بعد برای تیر سه مرحله ای با نسبت قطر $AD2=1.2, AD3=0.8$ و $\lambda_1 = 0.4$.



شکل (۱۲): نیروی بحرانی تیر سه مرحله ای بر حسب سختی فنرهای اتصال دهنده برای نسبت های قطری $AD_2 = 0.8, AD_3 = 1.2$

مراجع

16. Irani, S., Kavianipour, O., "Effect of a Flexible Joint on Instability of a Free-Free Joined Bipartite Beam under the Follower and Transversal Forces", J. Zhejiang University Sinece, 2009
 17. Bazoune, A. and Khulief, Y.A. , "Shape Functions of Three-dimensional Timoshenko Beam Element", J. Sound and Vibration, Vol. 259, pp. 335-351, 2003.

1. Bokaian, A., "Natural Frequencies of Beam under Compressive Axial Loads", J. Sounds and Vibration, Vol. 126, No. 1, pp. 49-65, 1988.
 2. Joshi, A. , "Free Vibration Characteristic of Variable Mass Rocket Having Larg Axial Thrust/ Acceleration", J. Sounds and Vibration, Vol.187, No. 4, pp. 727-736, 1995.
 3. Bolotin, V.V, "Non-conservative Problems of the Theory of Elastic Stability", Pergamon Press, Oxford, 1963.
 4. Beal, T.R., "Dynamic Stability of a Flexible Missile under Constant and Pulsating Thrusts," AIAA J. , Vol. 3, No. 3, pp. 486-494, March 1965.
 5. Peters, D.A. and Wu, J.J., "Asymptotic Solutions to a Stability Problem," J. Sound and Vibration, Vol. 59, No. 4, pp. 591-610, 1978.
 6. Wu, J.J., "Missile Stability, Using Finite Elements – an Unconstrained Variational Approach," AIAA J. , Vol. 14, pp. 313-319, 1976.
 7. Park, Y.P. and Mote, Jr., C.D., "The Maximum Controlled Follower Force on a Free-Free Beam Carrying a Concentrated Mass," J. Sound and Vibration, Vol. 98, No. 2, pp. 247-256, 1985.
 8. Park, Y.P., "Dynamic Stability of a Free Timoshenko Beam Under a Controlled Follower Force," J. Sound and Vibration, Vol. 113, No. 3, pp. 407-415, 1987.
 9. Leipholz, H.H.E. and Piche, R., Stability of Follower-Force Rods with Weight," J. Engineering Mechanics, Vol. 110, No. 3, , pp. 367-379, 1984.
 10. Sumeet P., Datta, P.K. , "Dynamic instability Characteristics of a Free-Free Missile Structure under a Controlled Follower Force", Aircraft Engineering and Aerospace Technology, Vol. 78, No. 6, pp. 509-514, 2006.
 11. Shastry, B.P. , Rao, G.V. "Dynamic Stability of Bars Considering Shearing Deformation and Rotary Inertia", Computers and Structures, Vol 19, pp. 823-827, 1984.
 12. Kar, R.C. , Sujata, "Stability Boundaries of a Rotating Contilever Beam with End Mass under a Transverse Follower Excitation", J. Sound and Vibration, Vol. 154, pp. 81-93, 1992.
 13. Lee, H.P. "Effect of Inertial Curvature on the Dynamic Stability of a Beam with Mass Subjected to Axial Pulsating Loads", Int. J. Solids & Structures, Vol. 32, pp. 3377-3392, 1995.
 14. Young, T.H. , and Chen, F.Y. , "Stability of Fluttered Panels Subjected to In-Plane Harmonic Forces", AIAA J., Vol. 31, pp. 1667-1673, 1993.
 15. Srinivasa, R.S., "Dynamic Stability of Rectangular Laminated Composite Plates", Computer and Structure, Vol. 24, pp. 233-238, 1986.

Archive